

Argomento	Esempio	Modello	Metodo	Codice
Identificazione del danno in elementi strutturali mono- e bidimensionali mediante metodi diagnostici non invasivi	Travi fessurate, Fig. 1.	Continuo 1-d	Analitico-numeric	MathLab, Mathematica
		Continuo 2-D	Elementi finiti	ADINA, ANSYS
Meccanica evolutiva della Frattura elastica lineare in elementi strutturali bidimensionali	Lastre fessurate, Fig. 2.	Continuo 2-D	Elementi finiti	ADINA
Smorzamento delle vibrazioni in elementi strutturali mediante sistemi passivi	Palette di turbina,	Discreto, Fig.3.	Analitico-numeric	MathLab, Mathematica
		Continuo 1-D, Fig. 4.	Analitico	MathLab, Mathematica
Controllo delle vibrazioni in elementi strutturali mediante sistemi semi-attivi	Sistema sospensione-ammortizzatore, Fig. 5	Discreto a pochissimi gradi di libertà	Analitico-numeric	MathLab, Mathematica
Risposta dinamica di elementi strutturali con impatto-atrito	Carrello di atterraggio, Fig. 6.	Discreto a pochi gradi di libertà	Analitico-numeric	MathLab, Mathematica
Risposta dinamica di elementi strutturali con vincoli monolateri attritivi	Struttura reticolare spaziale, Fig. 7.	Discreto a molti gradi di libertà	Analitico-numeric	Fortran, C++
Meccanica delle travi multistrato	Mensola, Fig. 8, trave appoggiata, Fig. 9	Continuo 1-D	Analitico-numeric	MathLab, Mathematica



Fig. 1– Trave fessurata.

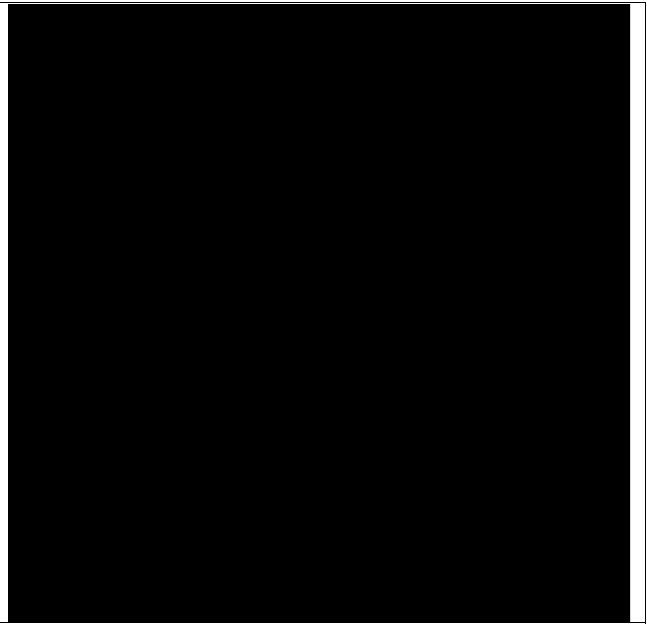
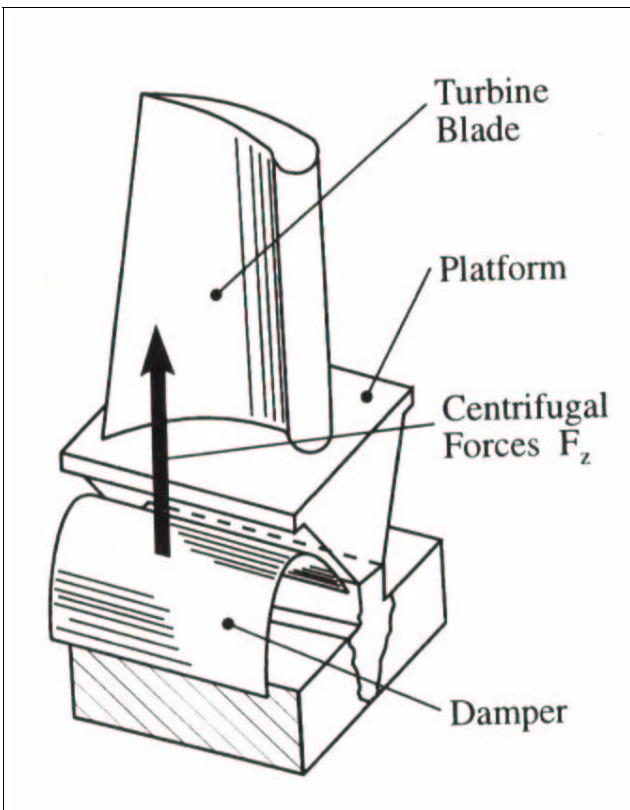
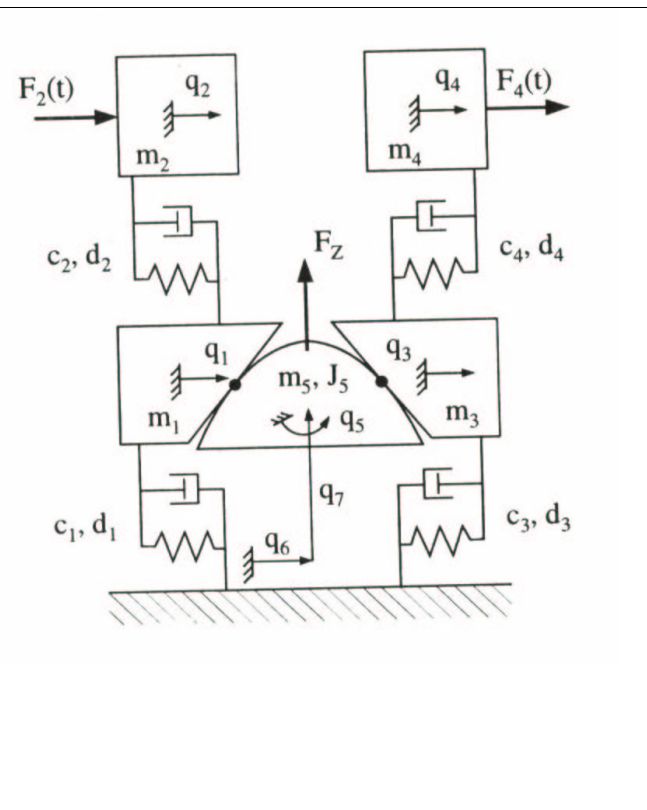


Fig. 2– Lastra fessurata.



a) particolare costruttivo,



b) modello discreto;

Fig. 3 – Paletta di turbina.

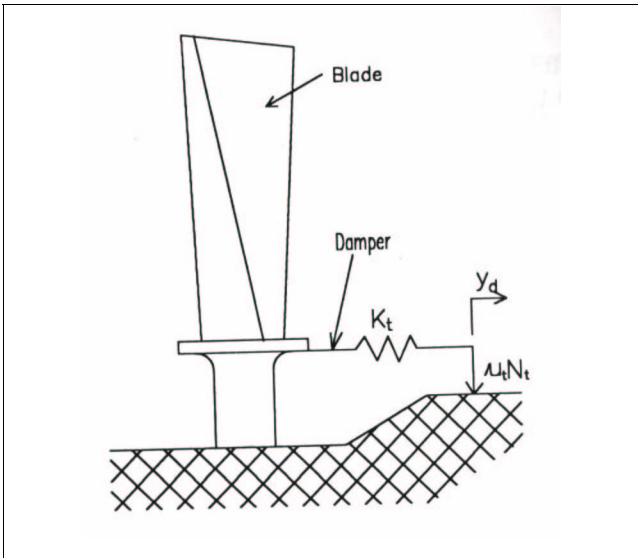


Fig. 4 – Paletta di turbina: modello continuo.

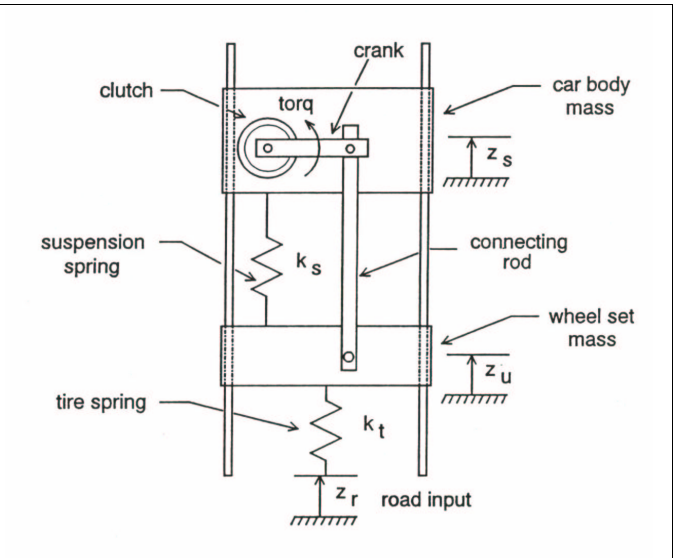


Fig. 5 – Sistema sospensione-ammortizzatore.

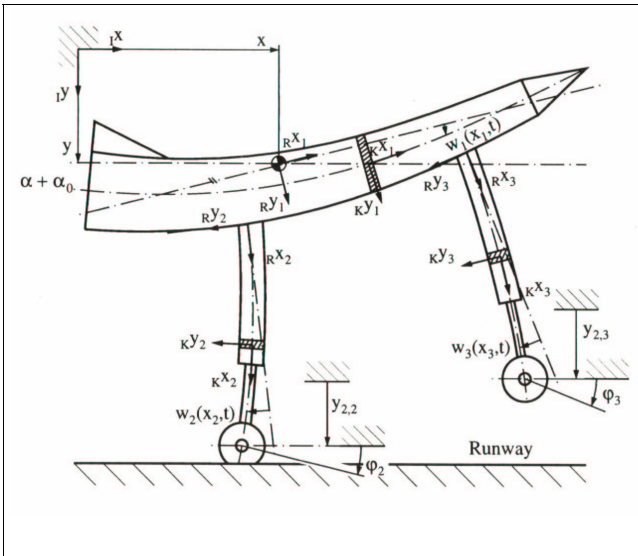


Fig. 6– Carrello di atterraggio: modello discreto.

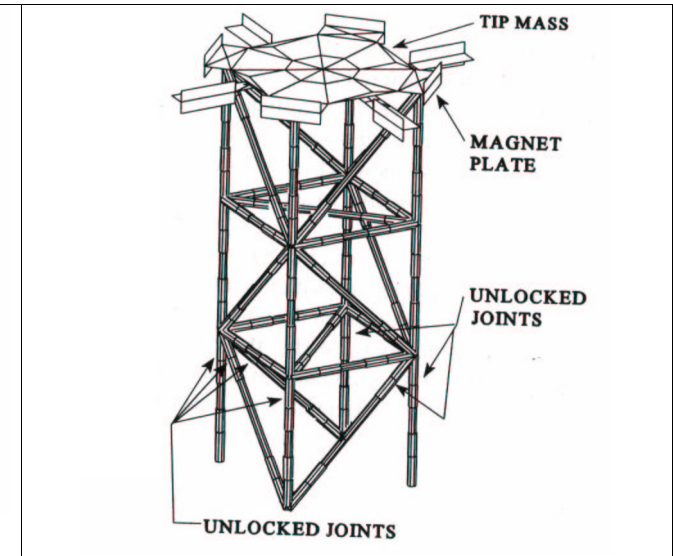


Fig. 7 – Strutture reticolare spaziale.

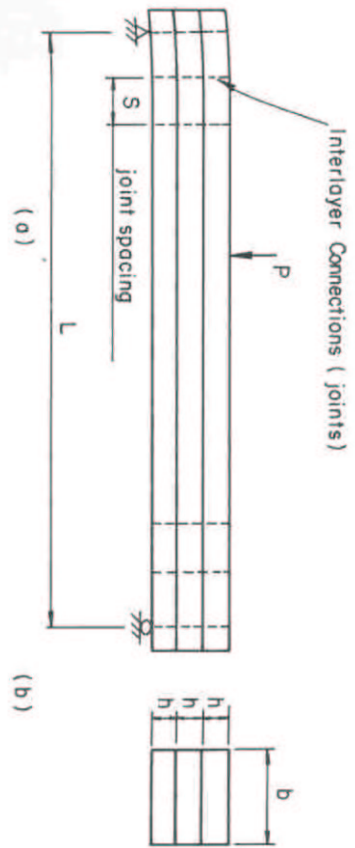


FIG. 1.—TYPICAL LAYERED BEAM SYSTEM: (a) SIDE VIEW; (b) CROSS SECTION

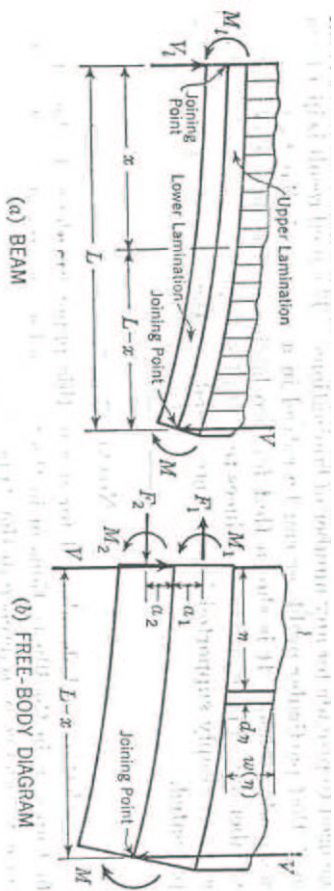


Fig. 1.—DOUBLY LAMINATED BEAM

Fig. 8 – Mensola bi-strato.

Fig. 9 – Trave appoggiata tri-strato.